

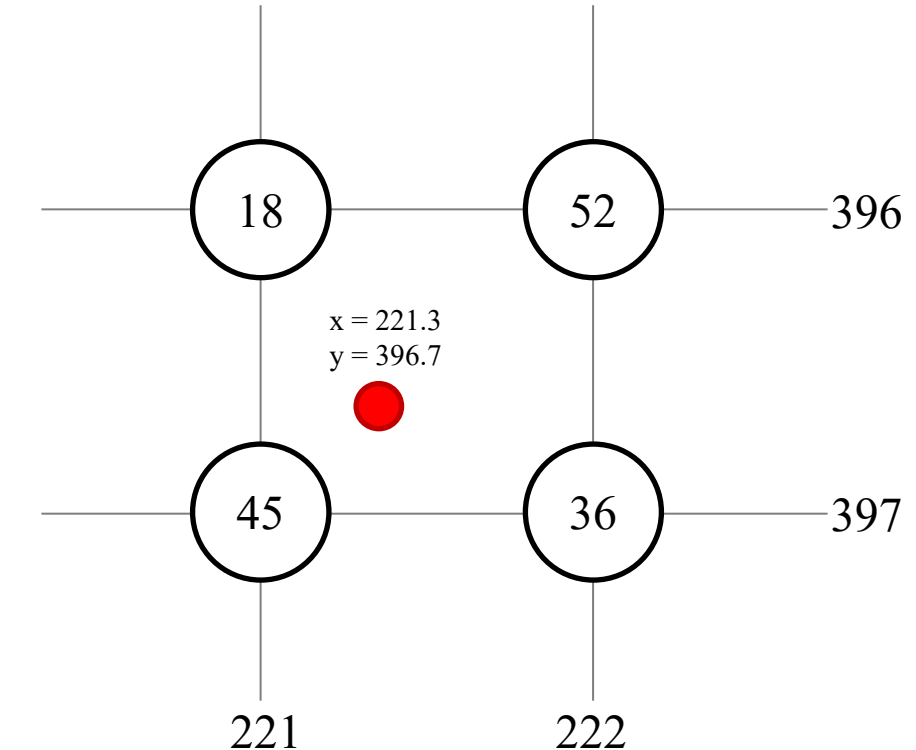
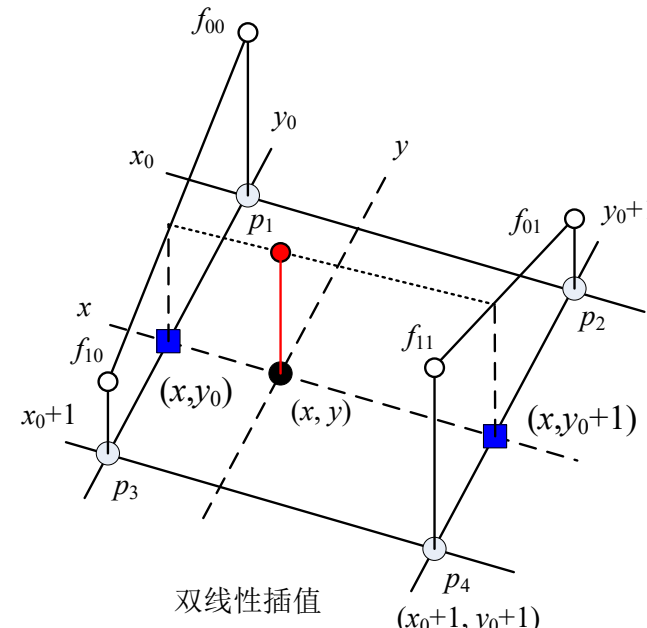
练习：灰度插值

在某256阶灰度图像的几何变换计算中，需计算(221.3, 396.7)这一位置的像素灰度值。

现已知： $f(221, 396) = 18, f(221, 397) = 45, f(222, 396) = 52,$
 $f(222, 397) = 36$ ，请用①最近邻插值、②双线性插值两种方法，
计算 $f(221.3, 396.7)$ 。

$$\begin{aligned}\hat{f}(x, y) = & (x_0 + 1 - x)(y_0 + 1 - y) \cdot f_{00} \\& + (x - x_0)(y_0 + 1 - y) \cdot f_{10} \\& + (x_0 + 1 - x)(y - y_0) \cdot f_{01} \\& + (x - x_0)(y - y_0) \cdot f_{11}\end{aligned}$$

“对角瞭望法”



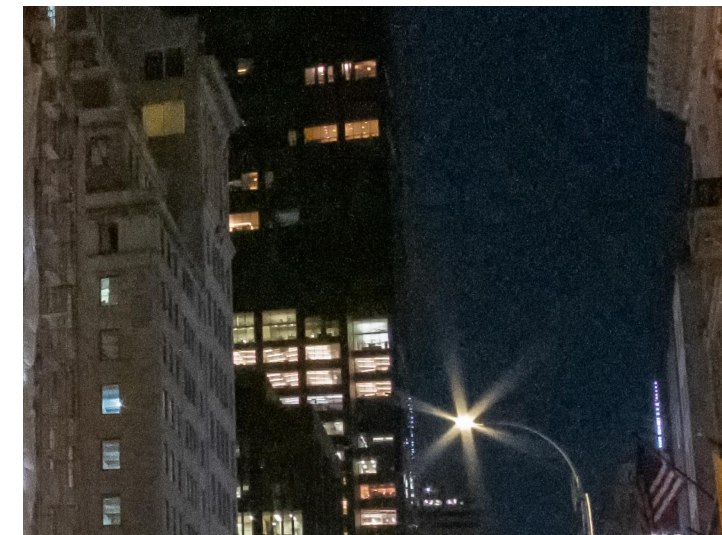
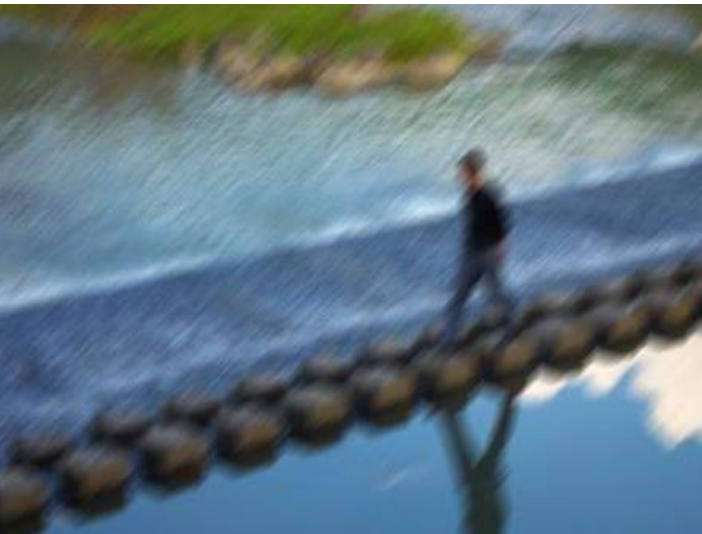
第7章

图像复原

目录

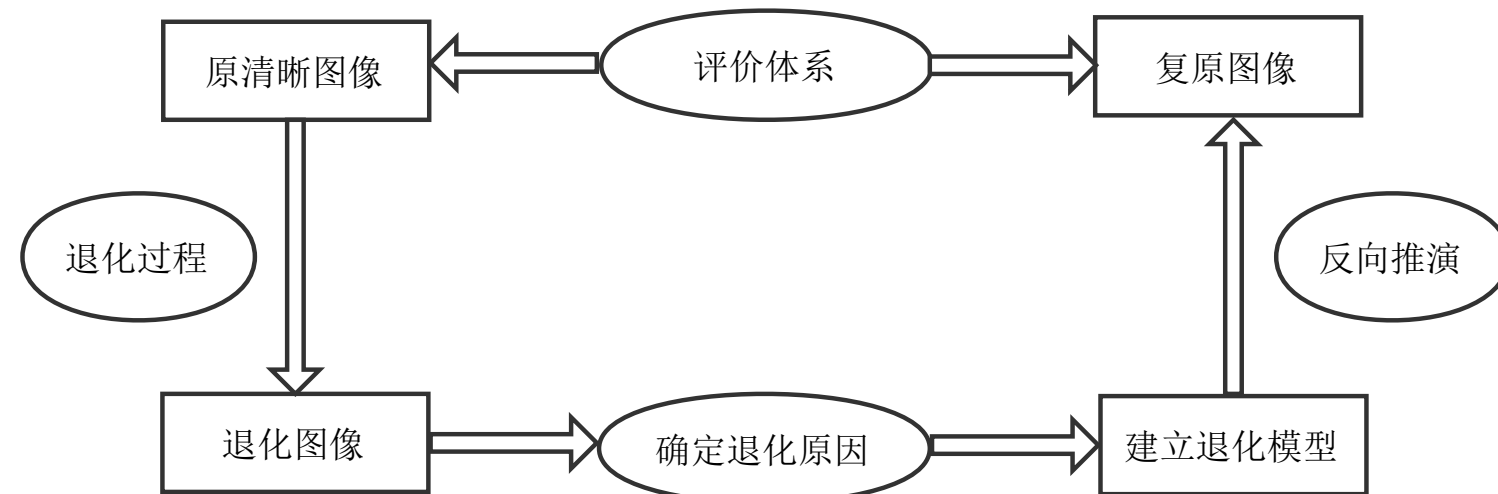
- 7.1 图像退化过程及其模型化方法
- 7.2 逆滤波图像复原
- 7.3 维纳滤波图像复原
- 7.4 约束最小二乘滤波图像复原
- 7.5 图像修复

背景知识



背景知识

- **图像退化：**成像过程中，可能会因传感器噪声、照相机镜头失焦、照相机与目标之间的相对运动、航空拍摄时大气湍流的随机扰动、水下拍摄时水流的干扰、雾霾等原因导致图像模糊，称为图像退化 (Image degradation)。
 - 图像退化将影响后继处理过程，增加图像计算、分析、特征提取及目标识别的难度，降低图像数据的应用价值。
- **图像复原：**根据图像退化过程的先验知识，建立图像退化过程的数学模型，对退化图像进行修复或者重建，称为图像复原 (Image restoration)。



辨析：图像复原与图像增强的比较

- **Image enhancement** : process image so that the result is more suitable for a specific application, is largely a subjective process.
- **图像增强**: 基本上是一个探索性过程，为了人类视觉系统的生理接受特点而设计一种改善图像的方法。
- **Image restoration** : recover image from distortions to its original image, is largely an objective process.
- **图像复原**: 试图利用退化现象的某种先验知识来重建或复原被退化的图像。因而，图像复原就是建立退化过程的模型，然后采用相反的过程进行处理，以恢复原图像。



7.1 图像退化过程及其模型化方法

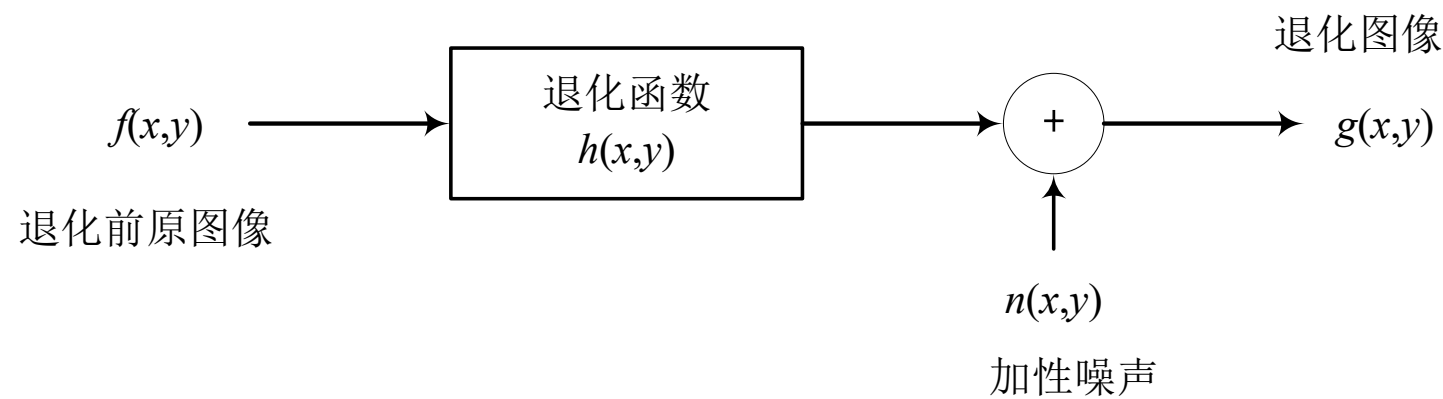
图像退化原因



图像退化模型

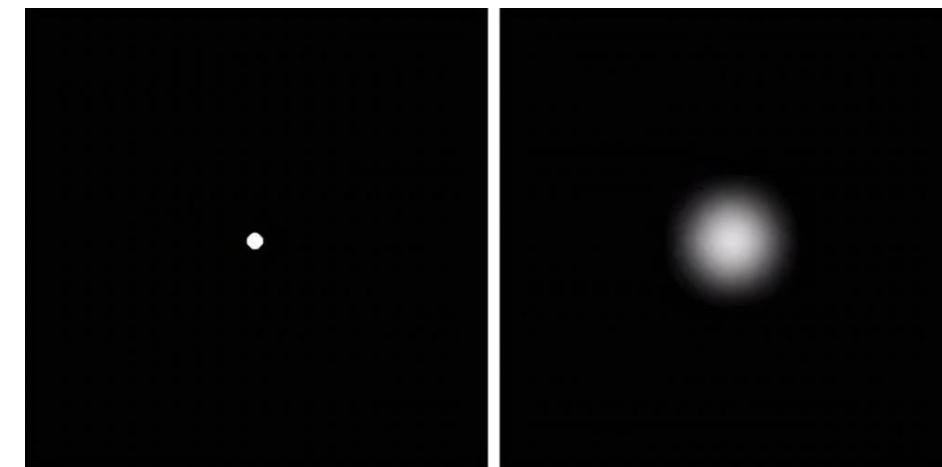
- 假设图像 $f(x,y)$ 经退化过程 $h(x,y)$ 及加性噪声 $n(x,y)$ 的共同作用，产生退化图像 $g(x,y)$ 。假定这个退化过程是一个**线性移不变系统 (Linear Shift-invariant System)**，其退化函数可以用二维系统的单位冲激响应 $h(x,y)$ 来表征，那么 $f(x,y)$ 的退化过程可表示为以下线性卷积形式：

$$g(x,y) = h(x,y) * f(x,y) + \eta(x,y)$$
$$G(u,v) = H(u,v)F(u,v) + N(u,v)$$



图像退化模型

- **点扩散函数：**光学中的单位冲激函数是一个光点，通过光学系统后会扩散为一个模糊光斑，其模糊程度由光学部件的质量决定，通常把光学系统的单位冲激响应 $h(x,y)$ 称为点扩散函数（PSF， Point Spread Function）。
- 图像退化过程是理想图像与退化函数的卷积（convolution），因此，图像复原又常被称为去卷积、解卷积、反卷积（deconvolution）。



光点扩散现象

线性移不变系统

$$g(x, y) = H[f(x, y)] + \eta(x, y)$$

线性系统: $H[af_1(x, y) + bf_2(x, y)] = aH[f_1(x, y)] + bH[f_2(x, y)]$

线性系统: 可加性、齐次性

位置不变: $H[f(x-\alpha, y-\beta)] = g(x-\alpha, y-\beta)$

图像任意一点的响应只取决于该点的输入值，而与该点的位置无关。

退化函数的估计方法

- 观察法 (*observation*)
- 试验法 (*experimentation*)
- 数学建模法 (*mathematical modeling*)

观察法

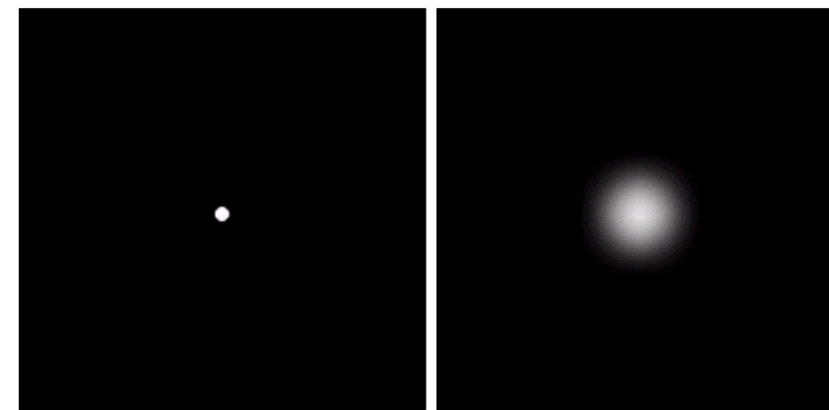
- 假设 $g(x,y)$ 是一幅退化图像，但没有提供退化函数 H 的知识，那么估计该函数的一个方法就是收集图像自身的信息。
- 例如，如果图像是模糊的，可以观察包含简单结构的一小部分图像，例如某一物体和背景的一部分。为了减少观察时的噪声影响，可以寻找强信号内容区。
- 使用目标和背景的样品灰度级，可以构建一个不模糊的图像，该图像和看到的子图像有相同大小和特性。
- 令 $g_s(x,y)$ 表示观察到的子图像，用 $\hat{f}_s(x,y)$ 表示对其复原的子图像(原始图像在该区域的估计图像)。假定噪声效果可忽略 (由于选择了一强信号区) 则有：

$$H_s(u,v) = \frac{G_s(u,v)}{\hat{F}_s(u,v)}$$

试验法

- 如果可以使用与获取退化图像的设备相似的装置，理论上可以得到一个准确的退化估计。
- 改变系统设置，使系统处于产生尽可能接近希望复原的退化图像的工作状态。
- 利用相同的系统设置，由成像一个脉冲(小亮点)得到退化的冲激响应。一个冲激可由明亮的亮点来模拟，并使它尽可能亮以减少噪声的干扰。
- 冲激的傅里叶变换是一个常量，系统的点扩散函数(PSF)为：

$$H(u, v) = \frac{G(u, v)}{A}$$

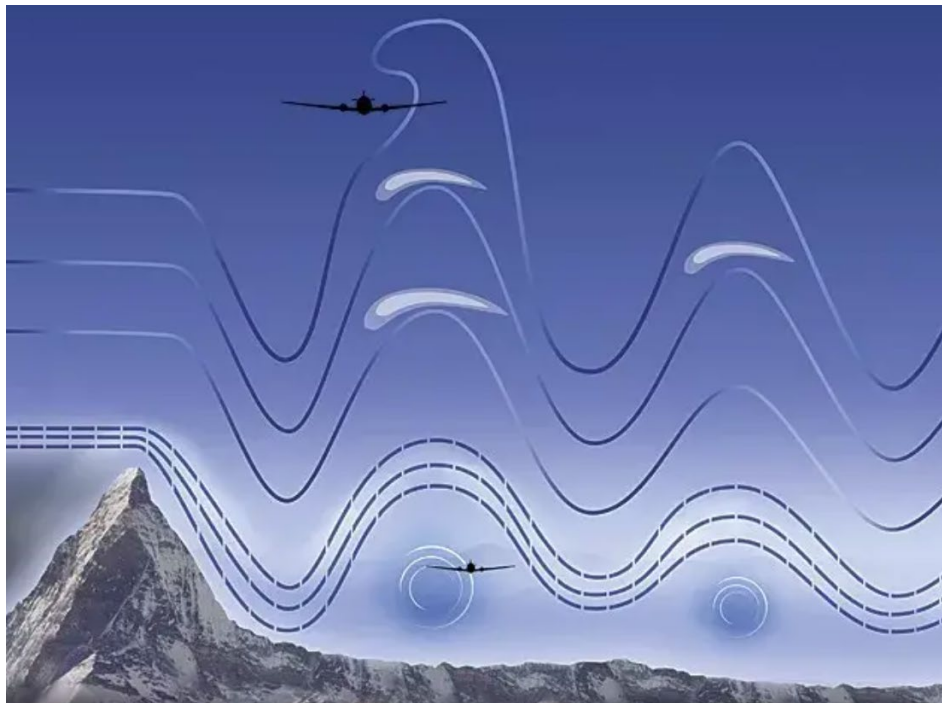


- **大气湍流图像模糊退化模型：**大气作为光学成像过程中光的传输介质，受外界诸多因素影响，导致对光的折射率发生变化。当光线通过不均匀传输介质时会发生折射或衍射，由光线会聚而成的像点将发生偏移，导致图像模糊。其点扩散函数PSF的傅里叶变换为：

$$H(u, v) = e^{-k(u^2 + v^2)^{5/6}}$$

- 式中， k 为大气湍流常数，用于控制模糊退化程度， k 越大，大气湍流越剧烈，导致图像越模糊。

数学机理建模法



示例：模拟大气湍流的图像模糊退化过程

#采用自定义函数AtmoTurbulenceSim模拟大气湍流模糊退化

```
img = io.imread('./imagedata/aerial_image.png') #读入一幅航拍图片
```

```
imgout1, Hatm1 = AtmoTurbulenceSim(img, 0.001) #令k=0.001
```

```
imgout2, Hatm2 = AtmoTurbulenceSim(img, 0.0025) #令k=0.0025
```

#显示退化结果 (略, 详见本章Jupyter Notebook可执行笔记本文件)



(1)原图像



(2)中等湍流, $k=0.001$



(3)剧烈湍流, $k=0.0025$

模拟大气湍流图像模糊退化函数 AtmoTurbulenceSim

```
def AtmoTurbulenceSim(image,k):
    """
    模拟大气湍流图像模糊退化AtmoTurbulenceSim
    输入参数:
        image - 原图像, 灰度图像或RGB彩色图像;
        k - 大气湍流模型的系数,k越大,大气湍流越剧烈,导致图像越模糊;
    输出:  imgout - 大气湍流影响的退化图像;
           Hatm -大气湍流模糊退化函数;
    """
rows, cols = image.shape[0:2] #获取图像高/宽
#采用'reflect'方式扩展图像(下面扩展rows行,右面扩张cols列)
if image.ndim==3: #彩色图像
    imgex = np.pad(image,((0,rows),(0,cols),(0,0)),mode='reflect')
elif image.ndim==2: #灰度图像
    imgex = np.pad(image,((0,rows),(0,cols)),mode='reflect')
#计算扩展图像的DFT并中心化
img_dft = fftshift(fft2(imgex,axes=(0,1)),axes=(0,1))
```

模拟大气湍流图像模糊退化函数 AtmoTurbulenceSim

```
#生成大气湍流模糊退化函数
#构建频域平面坐标网格数组，坐标轴定义v列向/u行向
v = np.arange(-cols, cols)
u = np.arange(-rows, rows)
Va, Ua = np.meshgrid(v, u)
D2 = Ua ** 2 + Va ** 2
Hatm = np.exp(-k * (D2 ** (5.0/6.0)))
if image.ndim==3:
    Hatm = np.dstack(( Hatm, Hatm, Hatm)) #彩色图像把H串接成三维数组
#计算图像DFT与大气湍流模糊退化函数的点积
Gp= img_dft * Hatm
Gp = ifftshift(Gp,axes=(0,1))          #去中心化
imgp = np.real(ifft2(Gp,axes=(0,1)))   #DFT反变换并取实部
imgp = np.uint8(np.clip(imgp,0,255))    #把输出图像的数据格式转换为uint8
#截取imgp左上角与原图像大小相等的区域作为输出
imgout = imgp[0:rows,0:cols]
return imgout, Hatm
```

运动模糊图像退化模型

- 采集图像时，因曝光时间内成像设备与被摄物体或场景间发生相对运动，使物体像点在图像传感器靶面上发生移位进而导致图像模糊，称为图像运动模糊。根据图像运动模糊的生成机理将其划分为局部运动模糊、全局运动模糊和混合运动模糊三类。
- 假设场景在传感器靶面上沿水平和垂直方向做匀速直线运动，成像设备的曝光时间用 T 表示，在曝光时间 T 内像点在水平和垂直方向上的移动量分别用 a 和 b 分别表示，那么该情况下的运动模糊退化点扩散函数PSF的傅里叶变换为：

$$H(u, v) = \frac{T \sin[\pi(ua + vb)]}{\pi(ua + vb)} e^{-j\pi(ua + vb)}$$

示例：匀速直线运动引起的图像模糊

```
#采用自定义函数MotionBlurSim模拟匀速直线运动图像模糊退化
```

```
img = io.imread('./imagedata/cameraman.tif') #读入一幅图片
```

```
#运动模糊退化参数
```

```
Te = 1 #曝光时间
```

```
xa = 0.02; yb = 0.02 #运动速度
```

```
imgout, Hmb = MotionBlurSim(img, Te, xa, yb)
```

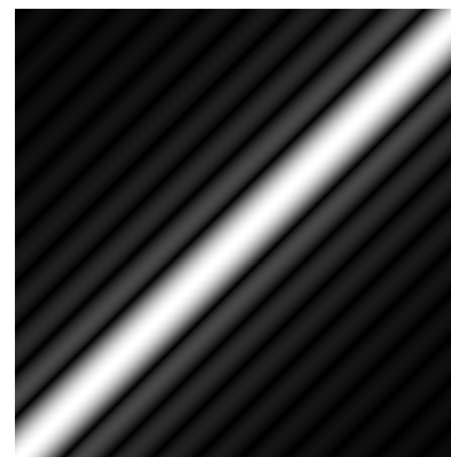
```
#显示退化结果 (略)
```



(1)原图像



(2)匀速直线运动模糊退化结果, $T=1, a=b=0.02$ (3)匀速直线运动模糊退化函数的幅度谱



噪声模型-图像噪声的成因

- **噪声主要来源于两个方面：**

- 图像的获取过程，图像传感器CCD和CMOS采集图像过程中，由于受传感器材料属性、工作环境、电子元器件和电路结构等影响，会引入各种噪声，如电阻引起的热噪声、场效应管的沟道热噪声、光子噪声、暗电流噪声、光响应非均匀性噪声。
- 图像传输过程，由于传输介质和记录设备等的不完善，数字图像在其传输过程中往往回受到多种噪声的污染。另外，在图像处理的某些环节也会引入噪声。

噪声模型-图像噪声的特征

- 噪声在图像中的分布和大小不规则，即具有随机性。
- 噪声与图像之间一般具有相关性。例如，图像黑暗部分噪声大，明亮部分噪声小。又如，数字图像中的量化噪声与图像相位相关，图像内容接近平坦时，量化噪声呈现伪轮廓，但图像中的随机噪声会因为颤噪效应反而使量化噪声变得不很明显。
- 噪声具有叠加性。在串联图像传输系统中，各部分窜入噪声若是同类噪声可以进行功率相加，依次信噪比要下降。

噪声模型-图像噪声的分类

● 加性噪声与乘性噪声

- 假定信号为 $S(t)$, 噪声为 $n(t)$, 如果混合叠加波形是 $S(t)+n(t)$ 的形式, 则称其为加性噪声。加性噪声和图像信号强度是不相关的, 如图像在传输过程中引进的“信道噪声”、电视摄像机扫描图像的噪声等。
- 如果叠加波形为 $S(t) [1+n(t)]$ 的形式, 则称其为乘性噪声。乘性噪声则与信号强度有关, 往往随图像信号的变化而变化, 如电视扫描光栅、胶片颗粒造成等。

● 外部噪声与内部噪声

- 按照产生原因, 图像噪声可分为外部噪声和内部噪声。外部噪声, 即指系统外部干扰以电磁波或经电源串进系统内部而引起的噪声。如外部电气设备产生的电磁波干扰、天体放电产生的脉冲干扰等。由系统电气设备内部引起的噪声为内部噪声, 如内部电路的相互干扰。

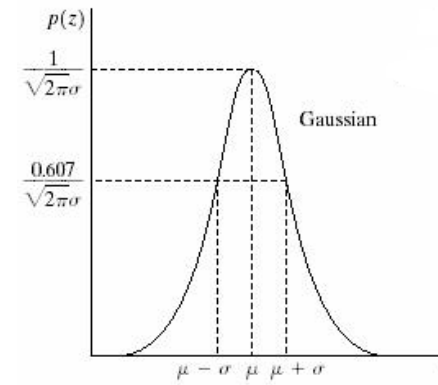
● 平稳噪声与非平稳噪声

- 按照统计特性, 图像噪声可分为平稳噪声和非平稳噪声。统计特性不随时间变化的噪声称为平稳噪声。统计特性随时间变化的噪声称为非平稳噪声。

一些重要噪声的概率密度函数

◆ 高斯噪声(Gaussian noise)

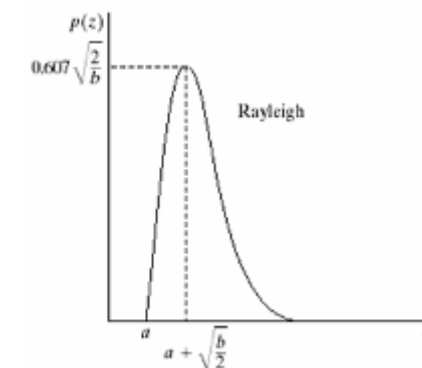
$$p(z) = \frac{1}{\sqrt{2\pi}\sigma} e^{-(z-\mu)^2/2\sigma^2}$$



◆ 瑞利噪声(Rayleigh noise)

$$p(z) = \begin{cases} \frac{2}{b}(z-a)e^{-(z-a)^2/b}, & z \geq a > 0 \\ 0, & z < a \end{cases}$$

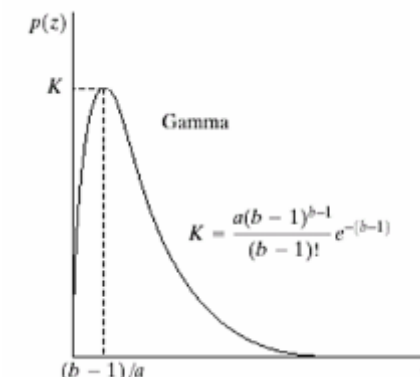
$$\mu = a + \sqrt{\pi b / 4}, \quad \sigma^2 = \frac{b(4 - \pi)}{4}$$



◆ 爱尔兰 (伽马) 噪声Erlang (Gamma) noise

$$p(z) = \begin{cases} \frac{a^b z^{b-1}}{(b-1)!} e^{-az}, & z \geq 0 \\ 0, & z < 0 \end{cases}$$

$$\mu = \frac{b}{a}, \quad \sigma^2 = \frac{b}{a^2}$$

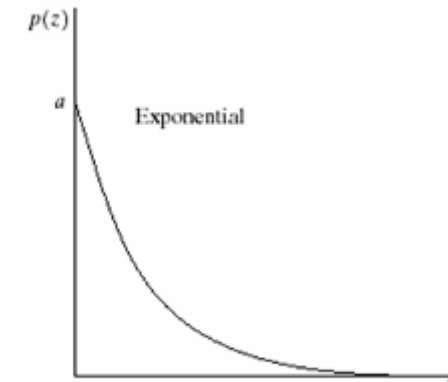


一些重要噪声的概率密度函数

◆ 指数噪声 (Exponential noise)

$$p(z) = \begin{cases} ae^{-az}, & z \geq 0 \\ 0, & z < 0 \end{cases} \quad \text{其中, } a > 0$$

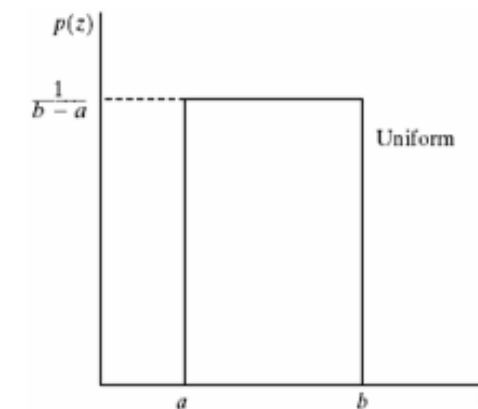
$$\mu = \frac{1}{a}, \quad \sigma^2 = \frac{1}{a^2}$$



◆ 均匀噪声 (Uniform noise)

$$p(z) = \begin{cases} \frac{1}{b-a}, & a \leq z \leq b \\ 0, & \text{otherwise} \end{cases}$$

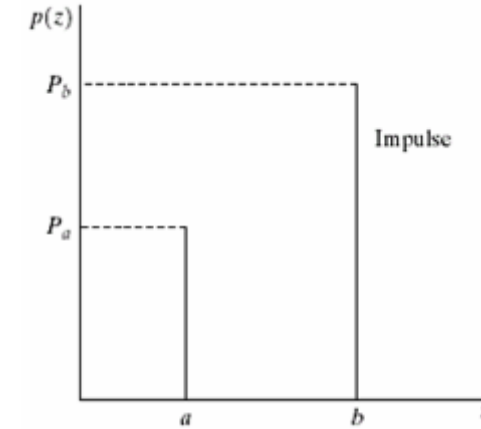
$$\mu = \frac{a+b}{2}, \quad \sigma^2 = \frac{(b-a)^2}{12}$$



一些重要噪声的概率密度函数

◆ 脉冲（椒盐）噪声（ impulse(salt-and-pepper) noise ）

$$p(z) = \begin{cases} P_a, & z = a \\ P_b, & z = b \\ 1 - P_a - P_b, & \text{otherwise} \end{cases}$$



- 如果 $b > a$ ，灰度值 b 在图像中将显示为一个亮点，相反， a 的值将显示为一个暗点。若 P_a 或 P_b 为零，则脉冲噪声称为单极脉冲。如果 P_a 和 P_b 均不可为零，尤其是它们近似相等时，脉冲噪声值将类似于随机分布在图像上的胡椒和盐粉微粒，称为双极脉冲噪声—也称为椒盐噪声（也称为散粒和尖峰噪声），通常 a 、 b 接近饱和值。



7.2 逆滤波图像复原

直接逆滤波

- 所谓直接逆滤波，不考虑噪声因素，用退化图像的傅里叶变换 $G(u,v)$ 除以退化函数 $H(u,v)$ 来计算原始图像的傅里叶变换估计，再取逆傅里叶变换得到复原图像：

$$\hat{F}(u, v) = \frac{G(u, v)}{H(u, v)}$$

$$\hat{F}(u, v) = \frac{G(u, v)}{H(u, v)} - \frac{N(u, v)}{H(u, v)}$$

- 但是，实际存在噪声项，通常，图像噪声的傅里叶变换 $N(u, v)$ 很难准确估计，即使已知退化函数 $H(u, v)$ ，也不能简单按上式准确复原图像。更糟糕的是，当退化函数 $H(u, v)=0$ 或者值非常小时，由 $N(u, v)/H(u, v)$ 确定的噪声项将被极度放大，导致图像复原失败。

加窗逆滤波

- 许多情况下， $H(u,v)$ 会从零频点 $H(0,0)$ 开始快速递减，而噪声 $N(u,v)$ 几乎总是常数。为避免引起噪声的扩大，一般不直接将因子 $1/H(u,v)$ 作为滤波器，而是先将其加窗处理，在 $H(u,v)$ 变得太小或者达到第一个零值前，就将其在某一个频率 D_0 处截断：

$$\hat{F}(u,v) = \begin{cases} \frac{G(u,v)}{H(u,v)}, & u^2 + v^2 \leq D_0^2 \\ G(u,v), & u^2 + v^2 > D_0^2 \end{cases}$$

- 式中， D_0 为截止频率，选择 D_0 使得 $H(u,v)$ 不包括零值点。当然也可以不采用上述矩形窗函数，而用其他窗函数，比如高阶巴特沃斯低通滤波器，使得 $1/H(u,v)$ 在 D_0 处有个平滑的过渡。

示例：逆滤波图像复原

模拟大气湍流图像退化及其逆滤波复原



(1) 原图像



(2) 退化图像, $k=0.001$



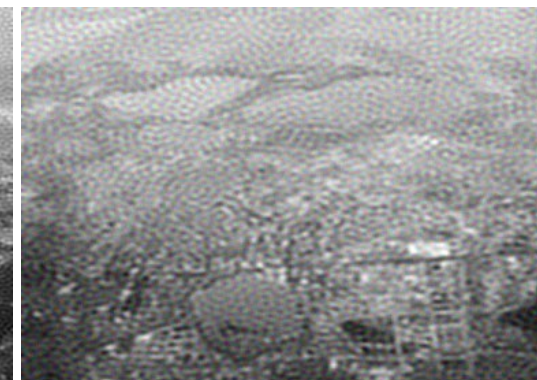
(3) 直接逆滤波复原



(4) 无噪加窗 $D_0=150$



(5) 无噪加窗 $D_0=200$



(6) 加噪加窗 $D_0=150$

示例：逆滤波图像复原

```
#模拟大气湍流图像退化及逆滤波复原
img = io.imread('./imagedata/aerial_image.png') #读入一幅航拍图片
#令k=0.001模拟大气湍流模糊退化
img_deg, Hatm = AtmoTurbulenceSim(img,0.001)
#向退化图像中添加均值为0、方差为0.001的高斯噪声
img_deg_noi = util.random_noise(img_deg, mode='gaussian', var=0.001)
img_deg_noi = util.img_as_ubyte(img_deg_noi)
#对不加噪退化图像进行直接逆滤波,令窗口半径极大, 相当于不加窗直接逆滤波
img_res1 = WinInvFilter(img_deg, Hatm, np.finfo(np.float32).max)
#对不加噪退化图像进行加窗逆滤波Windowed inverse filtering
#截止频率分别radius为120,180,220
img_res2 = WinInvFilter(img_deg, Hatm, 120)
img_res3 = WinInvFilter(img_deg, Hatm, 180)
img_res4 = WinInvFilter(img_deg, Hatm, 220)
#对加噪退化图像进行加窗逆滤波Windowed inverse filtering
img_res5 = WinInvFilter(img_deg_noi, Hatm, 120)
img_res6 = WinInvFilter(img_deg_noi, Hatm, 180)
```



7.3 维纳滤波图像复原

维纳滤波--最小均方误差滤波

- 逆滤波比较简单，但并没有清楚地说明怎样处理噪声，维纳滤波综合了退化函数和噪声统计两个方面进行图像复原处理。
- 假定图像和噪声均为随机过程，目标是找一个未污染图像 f 的估计值 $\hat{f}(x, y)$ ，使它们之间的均方误差最小：

$$e^2 = E\left\{\left[f(x, y) - \hat{f}(x, y)\right]^2\right\}$$

- 式中， $E\{\cdot\}$ 表示随机变量的期望值。假定图像退化过程可用一个含加性噪声的线性移不变系统来描述，即：

$$g(x, y) = h(x, y) * f(x, y) + n(x, y)$$

- 其中，噪声 $n(x, y)$ 是一个与原图像 $f(x, y)$ 无关的平稳噪声序列，且要求 $n(x, y)$ 与 $g(x, y)$ 为零均值。

维纳滤波--最小均方误差滤波

- 基于上述条件，满足均方误差最小的复原图像 $\hat{f}(x, y)$ 的频域表达为：

$$\hat{F}(u, v) = \left[\frac{H^*(u, v)}{|H(u, v)|^2 + S_n(u, v)/S_f(u, v)} \right] G(u, v)$$

$S_n(u, v) = |N(u, v)|^2$ 为噪声 $n(x, y)$ 的功率谱；

$S_f(u, v) = |F(u, v)|^2$ 为退化前图像 $f(x, y)$ 的功率谱。

$$\hat{F}(u, v) = \left[\frac{H^*(u, v)}{|H(u, v)|^2 + NSR} \right] G(u, v) \quad \text{在 } S_n(u, v), S_f(u, v) \text{ 未知或无法估计时}$$

式中， NSR 为图像信噪比 (noise-to-signal power ratio)，一个待定常数，可通过交互方式试探找到最好视觉效果的 NSR 值。在一定意义上，图像噪声越严重， NSR 值就要取大些。

示例：维纳滤波复原图像

模拟大气湍流图像退化及其维纳滤波复原



原图像



(1)退化图像, $k=0.0025$



(2)无噪声, $NSR=0.0001$



(3)含噪, $NSR=0.005$

示例：维纳滤波复原图像

```
#采用维纳滤波复原图像Deblur image using Wiener filter
img = io.imread('./imagedata/aerial_image.png') #读入一幅航拍图片
rows,cols = img.shape[0:2] #获取退化图像的高/宽
#令k=0.0025模拟大气湍流模糊退化
img_deg, Hatm = AtmoTurbulenceSim(img,0.0025)
#向退化图像中添加均值为0、方差为0.001的高斯噪声
img_deg_noi = util.random_noise(img_deg,mode='gaussian',var=0.001)
img_deg_noi = util.img_as_ubyte(img_deg_noi)
#采用'reflect'方式扩展图像(下面扩展rows行,右面扩张cols列)
if img.ndim==3: #彩色图像
    imgex = np.pad(img_deg_noi,((0,rows),(0,cols),(0,0)),mode='reflect')
elif img.ndim==2: #灰度图像
    imgex = np.pad(img_deg_noi,((0,rows),(0,cols)),mode='reflect')
```

示例：维纳滤波复原图像

#计算扩展图像的DFT并中心化

```
img_dft = fftshift(fft2(imgex,axes=(0,1)),axes=(0,1))
```

#计算维纳滤波复原图像的频谱

NSR = 0.005

```
Gp = img_dft * np.conj(Hatm)/(np.abs(Hatm)**2 + NSR + np.finfo(np.float32).eps)
```

#去中心化

```
Gp = ifftshift(Gp,axes=(0,1))
```

#DFT反变换并取实部

```
imgp = np.real(ifft2(Gp,axes=(0,1)))
```

#把输出图像的数据格式转换为uint8

```
imgp = np.uint8(np.clip(imgp,0,255))
```

#截取左上角与原图像大小相等的区域作为输出

```
img_res = imgp[0:rows,0:cols]
```



7.4 约束最小二乘滤波图像复原

约束最小二乘滤波图像复原

- ◆ 约束最小二乘滤波对退化前图像 $f(x,y)$ 的复原估计，是最小化以下准则函数 J 的结果：

$$J \equiv \|p(x,y) * \hat{f}(x,y)\|^2$$

约束条件为： $\|g(x,y) - h(x,y) * \hat{f}(x,y)\|^2 \leq \varepsilon^2$, 其中 $\varepsilon^2 \geq 0$

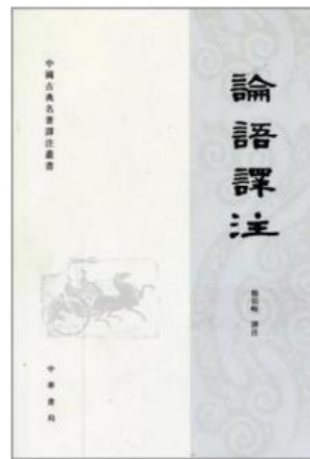
$p(x,y)$ 为通常选择拉普拉斯算子： $p(x,y) = \begin{bmatrix} 0 & 1 & 0 \\ 1 & -4 & 1 \\ 0 & 1 & 0 \end{bmatrix}$

采用Lagrange乘子法，得到上述约束最小二乘优化问题的频域解：

$$\hat{F}(u,v) = \left[\frac{H^*(u,v)}{|H(u,v)|^2 + \gamma |P(u,v)|^2} \right] G(u,v)$$

式中， γ 是 Lagrange 乘子，一个待定参数，其选择应满足约束条件，可根据复原效果交互试探选择，也可通过迭代计算。 $P(u,v)$ 是拉普拉斯算子 $p(x,y)$ 的傅里叶变换。

示例：约束最小二乘滤波图像复原函数deconvreg



(1) 原图像

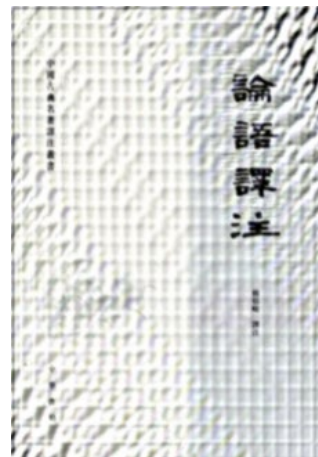


(2) 运动模糊图像

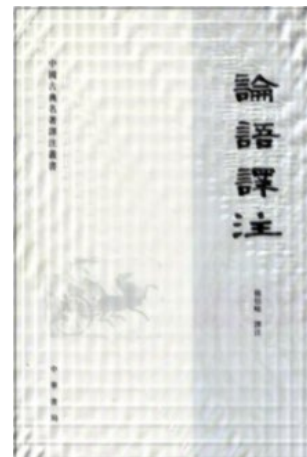


(3) 加噪运动模糊图像

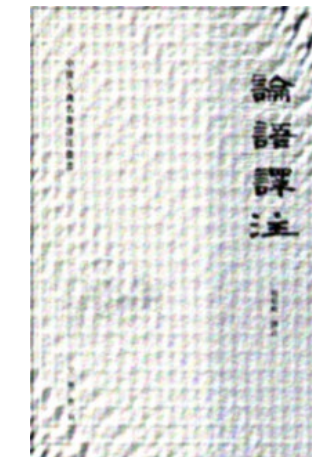
高斯噪声
0均值、方差为0.001



(4) 不加噪, 约束最小二乘
 $\gamma = 0.005$



(5) 不加噪, 维纳
 $NSR = 0.005$



(6) 加噪, 约束最小二乘
 $\gamma = 0.01$



(7) 加噪, 维纳
 $NSR = 0.01$



7.5 图像修复

图像修复

- 图像修复 (Image Inpainting) 是对图像中各类瑕疵失真的恢复，包括块状遮挡、文本遮挡、噪声、目标遮挡、划痕等。图像修复算法大致可分成三类：

- 基于序列的方法
- 基于卷积神经网络CNN (Convolutional Neural Network) 的方法
- 基于生成对抗网络GAN (Generative Adversarial Networks) 的方法。



示例：调用函数inpaintExemplar修复图像划痕

#OpenCV: 图像修复

```
img = cv.imread('.\imagedata\lake_crack.png', cv.IMREAD_GRAYSCALE) #读入瑕疵图像  
mask = cv.imread('.\imagedata\lake_crack_mask.png',cv.IMREAD_GRAYSCALE) #读入划痕区域掩膜图像  
img_ns = cv.inpaint(img,mask,5,cv.INPAINT_NS)    #采用INPAINT_NS方式  
img_telet = cv.inpaint(img,mask,5,cv.INPAINT_TELEA) #采用INPAINT_TELEA  
image_sk = restoration.inpaint_biharmonic(img, mask) #采用Scikit-image函数  
image_sk = util.img_as_ubyte(image_sk)  #把输出图像的数据格式转换为uint8
```



(1)原图像



(2)划痕区域掩膜



(3)采用NS方法



(4)采用TELEA



(5)Scikit-image函数

示例：采用图像修复方法移除图像中的目标区域

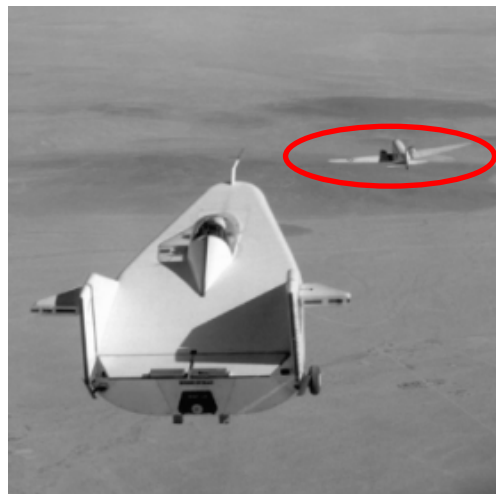
#OpenCV: 调用图像修复函数去除图像中指定区域物体

```
img = cv.imread('.\imagedata\liftingbody.png', cv.IMREAD_GRAYSCALE) #读入图像
```

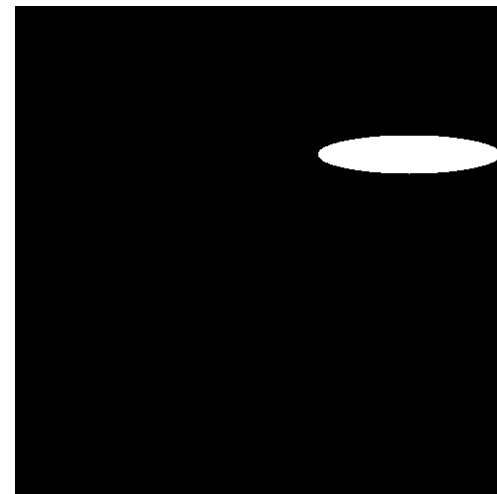
```
mask = cv.imread('.\imagedata\liftingbody_mask.png',cv.IMREAD_GRAYSCALE) #读入要去除区域的掩膜
```

```
img_rem = cv.inpaint(img,mask,5,cv.INPAINT_NS) #采用INPAINT_NS方式
```

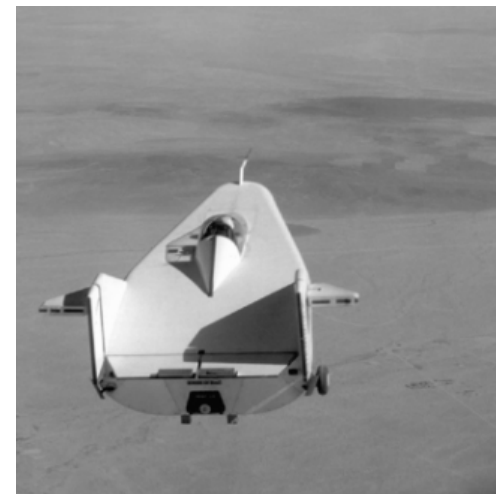
```
#显示结果 (略)
```



(1)原图像及要去除区域



(2)要去除区域掩膜



(3)处理结果

Q&A